

愛媛大学工学部 正員 豊國永次  
清水建設 正員 新原運弘

本報告では、初めに均一に近い流出面と流路網との結合した宅地造成地域を対象に、流域モデルの構成と等価粗度の関係、またその適合性について、調査流域における資料とともに考察する。次に家屋、建築物、舗装道路などの不透水層と緑地、裸地などの透水層とが混在する実際の市街地域について、特に側溝に注ぐ単位区域の流出面構成とそれらの流出特性に着目し、こうして複合流出面をもつ区域に対する等価流域表示の適合性について考察した。

### I. 均一に近い流出面と流路網との結合した流域(宅地造成地域)。

1). 流域モデルの構成 Fig. 1 の宅地造成地域の流域モデルとして Fig. 2 の (CXB) (d) のようなモデル I, II, III を考える。各モデルの斜面に関する諸要素は図に併記の通り。なお本流域は階段状宅地で、流路はかずりの配があり、その伝播時間は、斜面に較べ極めて短かい。

2). 等価粗度係数の評価と流域モデルの適合性 各流域モデルの斜面および流路における雨水流を Kinematic Wave 法により追跡し、等価粗度をパラメータとして各流域モデルに対する流出 hydro を算定した結果の一部を Fig. 3 に示す。これらの図から凡ての見当はつくが、実測 hydro に最も適合する等価粗度係数を、ピーク流量  $Q_p$  とその生起時刻  $t_p$  の適合度に着目し、Fig. 4, 5 (流域モデル I) を用いて求めた。モデル I では  $N = 0.02$  ( $0.01 \sim 0.03$ )、モデル II では  $N = 0.07$  ( $0.04 \sim 0.1$ )、モデル III では  $i = 1/1000$  のとき、 $N_s = 0.06$  ( $0.03 \sim 0.09$ ) が適值となる。次に流域モデルの適合性について、一般にモデルを細かく構成すると、適合度も向上するであろうが、各流域モデル斜面の伝播時間がいずれも 10 分前後で余り変わらないため各モデルの適合度には殆んど差がなく、単純なモデル I でも同程度の結果が得られることがわかる。用いた Input 資料は 10 分間雨量。

3). 流域モデルと等価粗度の関係 等価流域による条件を、各モデルの雨水伝播時間が等しいとして、Kinematic Wave 法を用いて示すと、周知のように次式が成立する。

$$\text{モデル I と II に対して } N = \left\{ (\sin \theta / \sin \psi)^{\frac{1}{2}} \cdot N_0 \cdot (L/mB)^{\frac{1}{p}} + K_r (Y_r B)^{(P-p)} \cdot (\sin \theta)^{\frac{1}{2}} / (L/n)^{1-p} \right\}^{1/p}$$

$$\text{モデル I と III に対して } N = \left\{ (\sin \theta / \sin \psi)^{\frac{1}{2}} \cdot (N_s/2m)^{\frac{1}{p}} + K_r (Y_r B)^{(P-p)} \cdot (L/n)^{\frac{1}{2}} / (2m) \cdot B^{\frac{1}{p}} + K_r (Y_r B) \cdot (\sin \theta)^{\frac{1}{2}} / (L/n)^{1-p} \right\}^{1/p}$$

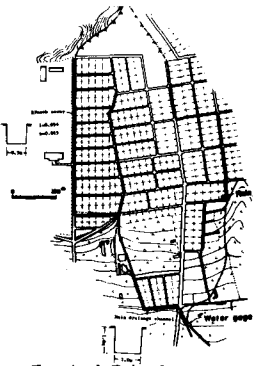


Fig. 1 調査流域

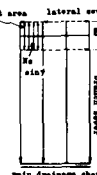
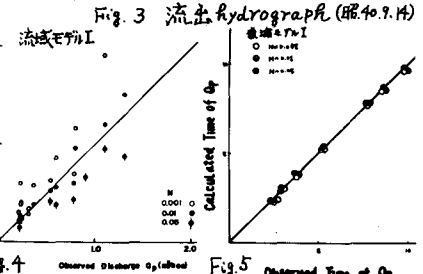
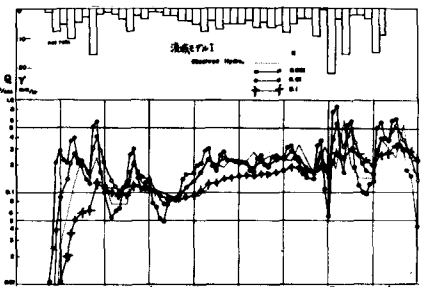


Fig. 2 流域モデル



は等価粗度。いま上式にモデルIの $N=0.02$ を与えて、各モデルの等価粗度係数を推算すると、 $N=0.085$ 、 $N_s=0.069$ となり、先に求めた各流域モデルの適値とよい一致を示す。この事は等価粗度はモデルの構成に応じて変化し、それらの値は構成要素を基に理論的に推算でき、こうした解析法の実用性が一層向上することを指摘できよう。

## II. 不浸透域、浸透域が混在する流域(市街地域)

ここでは特に単位区域内の流出面の構成とそれらの流出特性に着目し、こうした複合流出面からなる区域の等価流域表示の適合性について考察する。

1). 区域モデル 単位区域がFig. 6のようにStrip I, II, III(表-1)で構成されるものとし、Strip II, IIIの相互の増減により不浸透域の割合が80%, 57%, 30%となる各モデルにつき検討する。

2). 流出特性の吟味 各モデルに一定強度の有効降雨を与えて、流出特性を検討した(Fig. 7)。その結果、(1)流出面が類似するStrip I, IIIは流出特性も近似するが、Strip IIはかなり遅れがある。降雨強度の増加と共に伝播時間が短くなり、hydro. が突立つ。(2)不浸透域の増加につれ、合成hydro.はStrip I, IIIのそれに近い特性をもつようになる。逆に不浸透域の減少につれStrip IIの特性に近づくが、この場合、不浸透域の流出特性が残る。(3)一般に市街地化が進むと、不浸透域が増加し、その流出特性が支配的になる。他、区域内の流出面は細切れとなり、本来粗度係数も同一orderであるので、各流出面の流出性状は漸近する傾向になる。これらの合成hydro.は单一流出面のそれに漸近する等であるから、近似的にこれらの区域を等価流域として表示する可能性は十分考えられよう。

3). 等価流域表示に関する考察 まず一定強度の有効降雨について合成hydro. と等価流域。それを対比するとFig. 8の通りで、不浸透域が少ない場合はhydro. の特性が異なり、両曲線が交叉する傾向が見られる。然しひ不浸透域が増加し、80%位にもなると、実用上十分な等価流域表示ができる、 $N=0.0025$ とし得る。次に自然降雨を与えて調べた結果を述べると、不浸透域57%についてはhydro. の上昇部、下降部で適合度の低下がかなり現われる。不浸透域80%では $N=0.0025$ を与えた場合、Fig. 9のように実用上十分な適合度が見られる。

以上、単位区域に着目し、不浸透域の増加、区域内の細分化に伴い等価流域表示の適合性が高くなることを指摘したが、今後更に単位区域の合成される過程についても吟味が必要である。

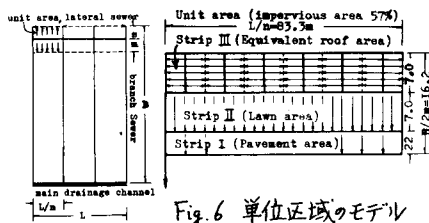


Fig. 6 単位区域のモデル

Strip	Description	Length	Slope	Roughness	Remarks
I	Street Pavement, impermeable	2.2m	0.02	0.02 mm	directly flow into lateral sewer
II	Grass turf, lawn, pervious	7.0	0.01	0.05	directly flow into lateral sewer
III	Composition Roofing, impermeable	6.95	0.1	0.01	connected lateral sewer by pipe line

表-1 Stripの諸元

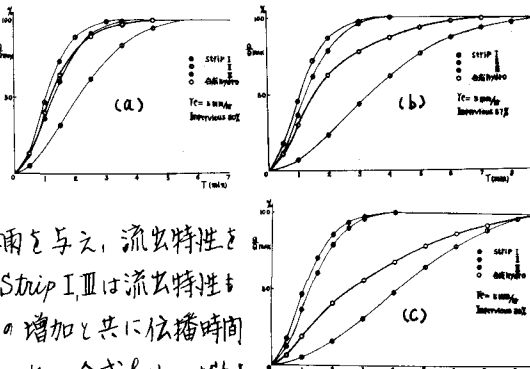


Fig. 7 各StripのHydro.および合成Hydro.の特性

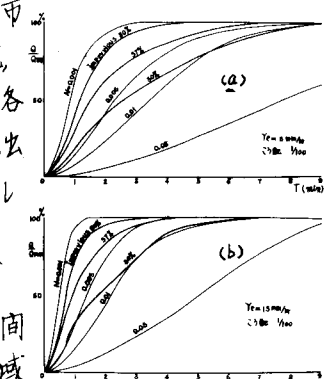


Fig. 8 各区域モデルのHydro.と等価流域のHydro.の特性

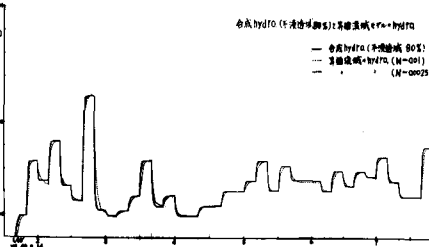


Fig. 9 降雨強度が変化する場合のHydro.